



# НАУКОВИЙ ВІСНИК

НАЦІОНАЛЬНОГО  
УНІВЕРСИТЕТУ БЮРЕСУРСІВ  
І ПРИРОДОКОРИСТУВАННЯ УКРАЇНИ

**209**  
Частина 1  
**2015**

ISSN 2222-8594

# НАУКОВИЙ ВІСНИК

НАЦІОНАЛЬНОГО УНІВЕРСИТЕТУ  
БІОРЕСУРСІВ І ПРИРОДОКОРИСТУВАННЯ  
УКРАЇНИ

209

ЧАСТИНА ПЕРША

Серія "Техніка та енергетика АПК"

Київ – 2015

6. Токарев Г.Г. Газогенераторные автомобили: учеб. пособие / Г.Г. Токарев. – М.: Машгиз, 1955. – 204 с.

Разработана схема и основные конструктивные параметры газогенераторного котла. Предложены высокоэффективные способы изготовления его основных элементов. Изготовлен опытный образец и установлены его технологические характеристики. Проанализирована возможность использования газогенераторного котла в качестве мини-ТЭЦ.

*Газогенераторный котел, твердые виды топлива, мини-ТЭЦ.*

The scheme and basic design parameters of gas generator boiler is designed. A highly effective ways of making its basic elements are proposed. Manufactured prototype and set its technological characteristics. The possibility of using gas generator boiler mini-CHP is analyzed.  
*Gas-generating boilers, solid fuels, mini-CHP.*

УДК 631.311.6

## ЭЛЕКТРОСНАБЖЕНИЕ АВТОНОМНЫХ ПОТРЕБИТЕЛЕЙ С ИСПОЛЬЗОВАНИЕМ ВОЗОБНОВЛЯЕМЫХ И НЕВОЗОБНОВЛЯЕМЫХ ИСТОЧНИКОВ ЭНЕРГИИ И УПРАВЛЕНИЕМ ГЕНЕРАЦИЕЙ ЭЛЕКТРОЭНЕРГИИ

С.А. ЛАПШИН, генеральный директор ООО «ОКБ ВЭС», г. Калуга

В.В. ХАРЧЕНКО, доктор технических наук

В.А. ГУСАРОВ, кандидат технических наук

ФГБНУ «Всероссийский институт электрификации сельского  
хозяйства», г. Москва

Разработана система управления генерацией в зависимости от потребления электроэнергии и возможности использования возобновляемых источников энергии. В качестве физической среды для передачи широкополосных сигналов управления генерацией в такой системе планируется использование физической среды передачи электроэнергии.

Возобновляемые источники энергии, генерирующие мощности, система управления, сети низкого напряжения, PLC, распределенная генерация, система управления генерацией, широкополосный доступ, КПД.

В настоящее время использование локальных генерирующих мощностей, не связанных с магистральными сетями и работающих для обеспечения потребностей в электроэнергии небольших территорий

© С.А. ЛАПШИН, В.В. ХАРЧЕНКО, В.А. ГУСАРОВ

## ДЛЯ ОТРИМАННЯ ТЕПЛОВОЇ ЕНЕРГІЇ В СІЛЬСЬКОМУ ГОСПОДАРСТВІ

© В.А. МАТВІЙЧУК, Н.Р. БЕСЕЛОВСЬКА, доктори технічних наук

О.О. РУБАНЕНКО, кандидат технічних наук

Вінницький національний аграрний університет

О. М. ДМИТРИШЕН, інженер

Томашівський цукровий завод

Розроблено схему та основні конструктивні параметри автомобільного котла. Запропоновано способи використання його основних елементів. Використано дослідний зразок під монтирання газогенераторного котла як мін-ТЕЦ.

*Газогенераторний котел, мін-ТЕЦ*

Впровадженням енергосередніх технологій та використаннім колітів зменшення залежності від зарубіжних експортерів енергоресурсів. Сучасний енергетичний стан країни переважає не найкращі часи, тому актуальним є перехід на відновлювальні джерела палива, такі як видобуток садовиництва, ростлинництва, а також побутових виробів, і взагалі все це їх видобутком та постачанням населення перспективним є застосуванням встановлення мін-ТЕЦ для населення. Така практика широко застосовується в країнах ЄС (Данія, Швеція, Німеччина, Фінляндія та ін.). У дослідженнях, проведених і виставленіх в статтях Г.Г. Гелету за обсягами виробництва та споживання енергії, її частка у загальному постачанні первинної енергії сягає 10 %. У секторі виробництва теплової енергії біomasа також знаходиться на четвертому місці після вугілля природного газу та нафти...». Це дає можливість зробити висновок про актуальність встановлення ізбуточок і розробки нових газогенераторних котлів на твердому біомасі [2]. Слід зазначити, що в ЄС 15 % загального обсягу теплової енергії виробляється з біомаси, а Україна вже в 2020 році за рахунок використання біomasи зможе збільшити 3,5 млрд м<sup>3</sup> природного газу [3].

**Мета дослідження** – розробка газогенераторного котла для спалювання сільськогосподарських біовідходів і побутового скоту.

© В.А. МАТВІЙЧУК, Н.Р. БЕСЕЛОВСЬКА  
О.О. РУБАНЕНКО, О.М. ДМИТРИШЕН, 2010

ККД, а також розробка високоефективних і малоциркульних випарників для виготовлення його основних елементів.

**Матеріали та методика** дослідження. При розробці газогенераторного котла основним завданням було забезпечення його конструкції і максимального коефіцієнта корисної дії. Під час розробки котла був створений на основі промислового автомобільного газогенератора. Принцип дії полягає в тому, що гаряча газова смішаність проходить через зону високої температури паливо, яке без достатньої кінності піддається відщепленню. Під дією цієї температури паливо перетворюється в бічні газові продукти. В основі цих газів є горючий чистий газ.

На рис. 1 показано автомобільний газогенератор, який і є підметом розробленого газогенераторного котла [5]. На рис. 2 підмето зовнішній вигляд дослідного газогенераторного котла, який був підготовлено за відповідною нами схемою.

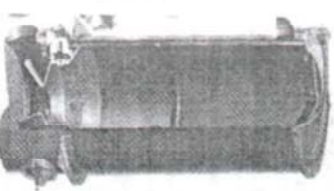


Рис. 1. Автомобільний газогенератор

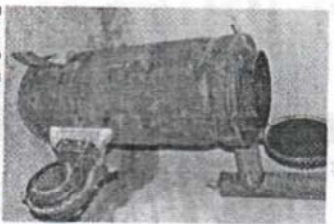


Рис. 2. Дослідний зразок газогенераторного котла

На рис. 3–4 наведено деякі елементи газогенераторного котла:



Рис. 3. Зовнішній вигляд ізбуточка газогенераторного котла



Рис. 4. Вентилатор і засоби регулювання

На рис. 5 подано принципову схему розробленої газогенераторного котла, існуючі пропозиції промислові котли нині є досить дорогими перевищуючи 12 тис. грн. за котел потужністю 10 кВт. Іх варіанти

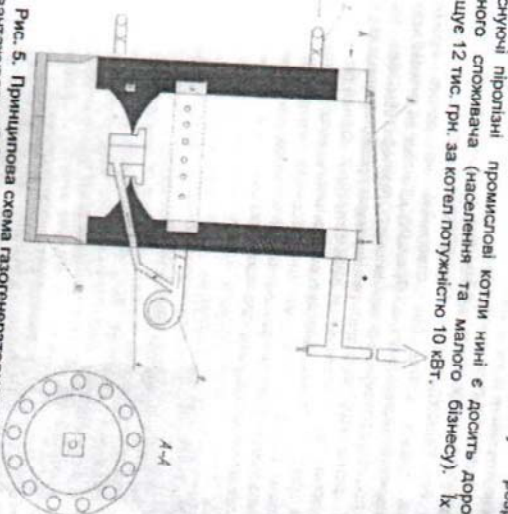


Рис. 5. Принципова схема газогенераторного котла:  
1 – завантажувальний бункер; 2 – схема; 3 – форсунка-змішувач; 4 – труба подачі первинного повітря;  
5 – герметична кришка бункера; 6 – труба теплообмінника; 7 – димохід;  
8 – вентилятор; 9 – трубка вторинного повітря; 10 – вогнетривка цегла

Тому, актуальну є задача спрощення конструкції котла з меншим вагістю, що можливим на основі результатів дослідження. До основних вагістів конструкції газогенераторного котла належать створення відносної простоти, що можливим на основі спорівковими кильцевими канавками (див. рис. 1, 2). Решта елементів та (вентилятор, крані), тому, в цій роботі значна увага приділяється розробці саме корпуса і фланцевих елементів котла.

Для формування фланців на корпус і криші котла та окремих фланцевих елементів нами розроблено процес розрізування та окремих відбортування. На рис. 6 показано конструкцію із загальним виглядом розрізуваної головки, розробленої у вигляді приставки до побудовного токарного верстата ЛТ2 для ротаційного відбортування фланців.

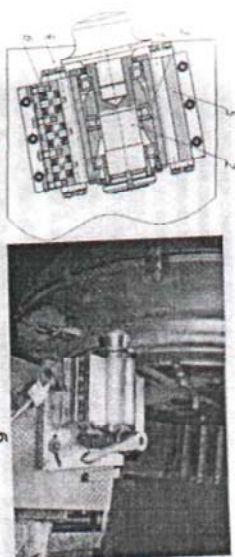


Рис. 6. Конструкція розрізуваальної головки (а) і загальний вигляд розрізуваальної приставки до побудовного токарного верстата (б):  
1 – валок; 2 – вісь; 3 – втулка; 4 – стопор верстата; 5 – утримувач

6 – пружина

Стріле ефективному фронтутворенню фланців відкритий нами ефект вільну активних сил тертя на напрямок інтенсивності плити матеріалу на контакти з валком [4]. Основними параметрами, що впливають на напрямок плому матеріалу заготовки при розрізуванні конічним валком, є кут нахилу  $\alpha$  осі валка, а також величина і напрямок зміщення вершини валка  $\delta$  відносно осі обертання заготовки. З використанням апарату аналітичної геометрії отримано залежність кута  $\varphi$  між векторами швидкості точок контактної поверхні заготовки і валка від параметрів процесу розрізування контактної поверхні заготовки і валка виду параметрів процесу розрізування

$$\varphi = \arctg [(k_1 - k_2)(1 + k_1 k_2)], \quad (1)$$

де  $k_1 = -x_0 / y_0$ ,  $k_2 = m/l$  – кутові коефіцієнти проекцій прямих, на яких лежать вектори швидкості точок заготовки і валка, на утворену розрізуванням площину. Залежність (1) кута  $\varphi$  від напрямку та величини зміщення валка  $\delta$  при різних кутах нахилу його осі графично подано на рис. 7, а, вид радіуса заготовки – на рис. 7, б.

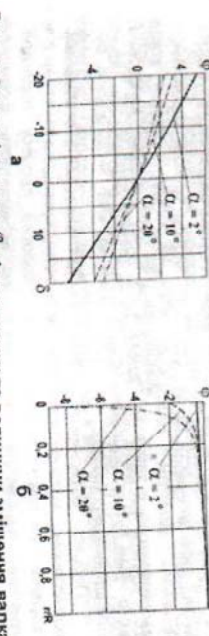


Рис. 7. Залежність кута  $\varphi$  від напряму та величини зміщення валка  $\delta$  (а) і радіуса заготовки (б) при різних кутах нахилу валка

Аналіз отриманих залежностей показує, що при додатному зміщенні вершини валка (від обертання) заготовки в напрямку плями контакту матеріал тече від центра заготовки ( $\varphi < 0$ ), а при видимому – до центру ( $\varphi > 0$ ).

Інтенсивність плину несиметрична відносно нульового зміщення кута  $\varphi$ . Інтенсивність відцентрового плину збільшується. Максимальна інтенсивність плину спостерігається на відстані  $r=0.2R$  від центра заготовки (див. рис. 7, б).

Передавання в пристрій підтримування розкошувальний процесу у випадку значного зрушенням  $\delta$  заготовки переважаюче прикладу значного радіального зуття заготовки, а також сприяє формуванню фланців з пружинами деформації заготовки від залізникових напружень. Пристрій є формувальником різних заготовок.

Загальний вигляд отриманих ротаційним вибочуванням фланцив показано на рис. 8. Час формування фланца становить 30-60 с. Тоність розмірів виготовлених деталей заготовки, переважно, від точності обробки. Відхилення по товщині стінки заготовки на ділниці підтримування не перевищує 0,03 мм, що забезпечується



Рис. 8. Вироби, отримані ротаційним віброротувальним круглих листових заготовок

Швидкість обробленої поверхні заготовки не перевищується значенням  $R_s = 0,16$  мкм. За результатом використання заготовок з циліндричністю, за ін. отримані вироби цілком задовільняють технічним вимогам. Важливим операцією виготовлення корпуса цього намі було розрібленням процес обслінення обкоучуваним корпуса циліндричними роликами.

Процес обточування обкоучуваним виявився стабільним і утворення кільцевої канавки. Тому, розробка процесу полягала у визначення параметрів обкоучування, які забезпечують формування максимального за глибину канавки при мінімізації покільки поточення стінки і запобігають руйнуванню матеріалу.

1) на одній граничному стану заготовки при обкоучуванні необхідно матеріал у пластичній зоні.

2) методом (відрізано-деформованого) стан (НДС) матеріалу в пластичній зоні з товщиною  $S_0$  радіусом  $d/2$  у кільцеву шинку ширинкою  $b=2L$ . Матеріал прийнято жорстко пластичним, а умова плинності в стінці відповідальним, для якого справедливо є умова плинності відповідальним. Напружений стан прийнято покроком за наявності інтенсивності напружень. При цьому умова плинності

$$(2)$$

$$\Delta\sigma_\theta^2 + B\sigma_\theta^2 + C(\sigma_\theta - \sigma_z)^2 = 1 \quad (3)$$

$$d\sigma_\theta = d\delta[\Delta\sigma_\theta + C(\sigma_\theta - \sigma_z)],$$

$$d\sigma_z = d\delta[B\sigma_\theta + C(\sigma_\theta - \sigma_z)],$$

де  $\sigma_\theta$ ,  $\sigma_z$  – колове і меридіональне напруження; А, В, С – параметри, які характеризують поточний стан анізотропії. Оси  $\sigma_\theta$  и  $\sigma_z$  мають кільцевий, меридіональний та радіальний напрямки і збігаються з головними осями анізотропії.

Записавши рівняння руху деформованої оболонки з відносними відхиленнями рівняння 1) використавши рівняння (2) і відразимо геометричні параметри заготовки, та використавши компонент напруження (3), будемо отримати формулу для визначення компонент напруження:

$$\sigma_\theta = \pm\sigma_z \sqrt{[(1+k_\theta)^2 + k_z(H-1)] + (k_z/k_\theta)^2}, \quad (4)$$

$$\sigma_z = H\sigma_z;$$

$$H = \frac{1}{2} [1 - \gamma^2(1 + 2k_\theta)] \left[ k_\theta / k_z + \gamma(k_z / k_\theta + 2k_\theta) \right],$$

$$\gamma = E / \sqrt{E_\theta - E_\theta^2}$$

$E_\theta$ ,  $E_\theta^2$  – компоненти анізотропії матеріалу.

Тут:  $\sigma_z$  – границя плинності матеріалу;  $k_\theta = C/B$ ,  $k_z = C/A$  – коефіцієнти анізотропії швидкості деформації;  $E_\theta$ ,  $E_\theta^2$  – характеристики НДС матеріалу відрізано-деформованого та коловому напрямках.

Аналіз формул (4) показав, що при обкоучуванні характер НДС змінюється від твірної від одно – двовісного розтягу в центральній частині до двовісного стисненого дослідження НДС нашім була використаний для експериментального дослідження. На рис. 9 показана схема методу вимірювання сток та мікротвердості на зоні кільцевої канавки.

Метод вимірювання сток та мікротвердості в зоні кільцевої канавки замірів мікротвердості і товщини стінки корпуса в зоні кільцевої канавки.



Рис. 9. Схема замірів мікротвердості товщини стінки корпуса в зоні кільцевої нахавки

За результатами вимірювань було установлено, що на покаткових кільцевинах діаметр корпуса ( $<1\%$ ) Цей ефект викликаний погодженням стиску внаслідок утворення пластичної хвили і підвищує наявність тут стисків біля краю канавки не змінності, а деформування товщини безпосередньо в зоні канавки

При формуванні канавки шириною  $b=20$  мм максимальне поточення стиску видувається на ділянках, обмежених перервами  $S_4$  – видувається покатання поточення і виникає кільцева тріщина.

Для запобігання утворенню зосередженого поточення в технологичних умовах необхідно створити зосередженого поточення в настінці розміткою, що покращає деформації не приведе до негайного вищерання залишкості листового матеріалу до формування

Достиженню НДС формуванням кільцевої канавки показано, що може бути залежить від відрізних розмірів та форми інструменту і заточок. Тому, поверхні ролика  $R$ , і ширини ролика  $b$ , можна впливати на характер НДС деформованої ділянки. Зокрема застосування ролика з  $b=10$  мм приведе до того, що в процесі обхопування, в зоні перерви  $S_4$  –  $S_6$  став передавати

$S_7$ . Тут же мало місце і максимальне поточення стиски корпуса. Таким чином, комбінуючи геометричні параметри обхопувальних роликів, можна отримувати залоговки на початкових стадіях роликом з відносно більшою ширинкою, а на заключних етапах роликом з меншою шириною і радіусом робочої поверхні, збільшуючи стисніність і радіусом ротаційного вибуття.

Канавки. В ціому, застосуванням фланців і формуванням ротаційним обхопуванням основних елементів газогенераторного котла.

Шляхом експериментальних досліджень було встановлено, що стаповання 3–5 кг перраді породи деревини дозволяє напристи та довести до кінця 180 л

— протягом 2 год, з яких 30 хв котел виходить на робочий проріз. Для відповідного диміння приміщення площею  $200 \text{ м}^2$  котел спалює вид 40 кг до 60 кг деревини, що використовується для виготовлення папіка замінити від температурно-пластичного середовища. В затриманому котлі можна спалювати підгущені виходи: пінопласт, пластика, пуму та ін. з мінімальним зниженням нахилу котла планується реалізувати міні-ТЕЦ, блок-схема якої наведено на рис. 10.

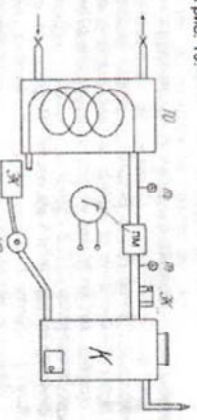


Рис. 10. Схема міні-ТЕЦ:  
Г – генератор; ТО – теплообмінник; М – манометр; ГМ – парова машина.  
НВТ – насос високого тиску

Висновки. Нині проводяться експерименти з газогенераторним котлом для переведення його на робочі пароутворення з методом генерування електроенергії за допомогою парової турбіни та парової машини.

У зважув залогу з тим, що парова турбіна створює багато шуму, і викликав дискомфорт у підсобному господарстві, планується використовувати парові машини на основі промислового двигуна внутрішнього згорання шлаком заміни в Ньюку Газорозподільного механізу та модернізації системи жароцидання.

#### Список літератури

- Степанов Д.В. Енергетична та екологічна ефективність відотрійних залишків місце знаходження зон максимального поточення стиски. Оцінювання заготовки на початкових стадіях роликом з відносно більшою ширинкою, а на заключних етапах роликом з меншою шириною і радіусом робочої поверхні, збільшуючи стисніність і радіусом ротаційного вибуття. Канавки. В ціому, застосуванням фланців і формуванням ротаційним обхопуванням основних елементів газогенераторного котла.
- Гринюк І. Від природного газу до біомаси / І. Гринюк // Журнал сучасного більського господарства. – 2009. – № 4 (35). – С. 10-14.
- З Генетука Г.Г. Україна може скономити 3,5 млрд кубометрів газа, используючи біомасу [Електронний ресурс] / Г.Г. Генетука. – Режим доступу: <http://news.11line.ua/linec/32288>.
- Матвійчук В.А. Совершенствування процесу покладання ротаційної обмотки двернім на основі аналізу деформуваності металлов. обмоток. Диплом. / В.А. Матвійчук, І.С. Аміев – Краматорськ. ДГМА, 2009. – 258 с.
5. Наг. 85070 Україна. МПК F24D/08 Газогенераторний твердоліпальний котел / Басарраба С.В.; заявник і патентоуправитель Басарраба Сергій Володимирович; заявл. 10.04.2013, опубл. 11.11.13. Бюл. №21.